

## 小胶质细胞, 巨噬细胞特异性抗体

—Anti Iba1 ,Rabbit (用于免疫组化或免疫印迹)

钙离子作为信号转导通道中的第一信使, 在所有细胞包括中枢神经细胞的生命活动中起重要作用, 钙离子与不同的钙结合蛋白结合后进行级联反应。小神经胶质细胞是中枢神经系统中重要的神经免疫细胞, 分布于整个大脑和视网膜, Iba1 是能与巨噬细胞和小胶质细胞发生特异性结合的钙结合蛋白, 当这些细胞激活后, Iba1 的表达量上调, 因此 Iba1 通常作为鉴定小胶质细胞的标记物使用。

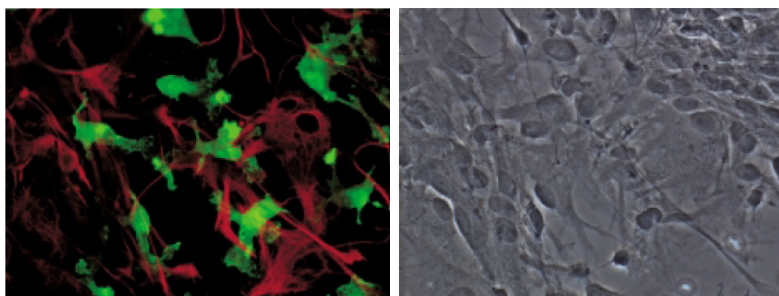
近来研究发现, 小胶质细胞除了提供营养、保护神经的作用外, 还被证明可产生 NO、TNF- $\alpha$ 、IL-1 $\beta$  等物质, 吞噬损伤的神经细胞碎片、促进组织修复和神经元的再生, 因此将小胶质细胞定义为中枢神经系统中的巨噬细胞样吞噬细胞, 具有重要的免疫细胞作用, 当病原菌, 病毒入侵中枢神经系统时会起免疫监视的作用。还有研究发现, 神经退行性疾病如阿尔茨海默病、帕金森病、肌萎缩性侧索硬化症等与小胶质细胞有着密切的关系。本产品是可与小胶质细胞 / 巨噬细胞发生特异性反应的兔多抗, 配合对星形胶质细胞有特异性的 GFAP 单抗, 可对脑组织进行双染色。

- 兔源细胞的双染色及同视野的相差显微镜图

抗原: 合成肽 (Iba1 的 C 末端序列)  
外观: TBS 溶液 (1 mg/ml)  
提纯: 抗原亲和提纯  
浓度: 0.5 mg/ml

特异性: 对小胶质细胞、巨噬细胞特异反应。  
不与神经元、星形胶质细胞发生交叉反应。  
与人、小鼠、大鼠 Iba1 反应。

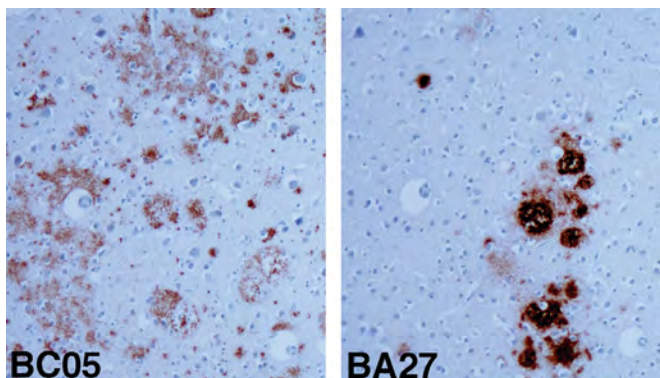
用法: ① Iba1 抗体, 兔源 (Immunocytochemistry 用)  
适合 Immunocytochemistry。  
只需 1 ~ 2  $\mu$ g/ml 即可进行实验。  
② Iba1 抗体, 兔源 (Western blotting 用)  
适合 Western blotting。  
只需 0.5 ~ 1  $\mu$ g/ml 即可进行实验。



绿色: Iba1 抗体, 兔源 (Immunocytochemistry 用) (小胶质细胞)  
红色: 抗 GFAP 抗体 (星形胶质细胞)

数据提供: 日本国立精神·神经中心神经研究所代谢研究部

| 产品编号      | 产品名称                                       | 规格         | 应用              |
|-----------|--|------------|-----------------|
| 019-19741 | Anti Iba1 ,Rabbit(for Immunocytochemistry) | 50 $\mu$ g | 特异性识别小胶质细胞、巨噬细胞 |
| 016-20001 | Anti Iba1, Rabbit (for Western Blotting)   | 50 $\mu$ g | 特异性识别小胶质细胞、巨噬细胞 |

阿尔茨海默症病变脑组织中  $\beta$ -淀粉样多肽 A $\beta$ 40/A $\beta$ 42 染色— $\beta$ -Amyloid 蛋白免疫染色试剂盒

产品特点:

- 病理研究用、免疫组织染色液
- 特异性检测阿尔茨海默症病变脑组织 A $\beta$ 42 和 A $\beta$ 40 的 C 末端
- 高灵敏度 低背景

阿尔茨海默症病变的脑组织老年斑切片的免疫染色

左图: 使用 Anti A $\beta$ 42 Ab (Clone #BC05) 对 A $\beta$ 42 染色;  
右图: 使用 Anti A $\beta$ 40 Ab (Clone #BA27) 对 A $\beta$ 40 染色  
(provided by Dr. Iwatsubo, Univ. of Tokyo)

| 产品编号      | 产品名称  | 规格   | 应用  |
|-----------|---|------|---|
| 299-56701 | Amyloid $\beta$ -Protein Immunohistostain Kit | 50 次 | 特异性对 A $\beta$ (40) 和 A $\beta$ (42) 免疫染色 |

定量检测阿尔茨海默症  $\beta$ -淀粉样多肽 A $\beta$ 40/A $\beta$ 42— $\beta$ -Amyloid ELISA 试剂盒

阿尔茨海默症 (Alzheimer's Disease, AD), 俗称老年痴呆症, 其特征是在大脑神经细胞中存在老年斑 (Senile Plaques, SPs) 和神经元纤维缠结 (Neuro Fibrillary Tangles, NFT), 老年斑的主要组成蛋白是  $\beta$ -淀粉样多肽 (Amyloid Peptide, A $\beta$ ) 40 和 42(43), A $\beta$ 42 比 A $\beta$ 40 更容易发生聚集。因此, 蛋白样多肽的聚集开始于 A $\beta$ 42 而不是 A $\beta$ 40。出现了 A $\beta$ 42 而没有出现 A $\beta$ 40 是阿尔茨海默症的早期特征; 出现了 A $\beta$ 40, 尤其是在成熟老年斑的中心部分出现则代表进入阿尔茨海默症的晚期阶段

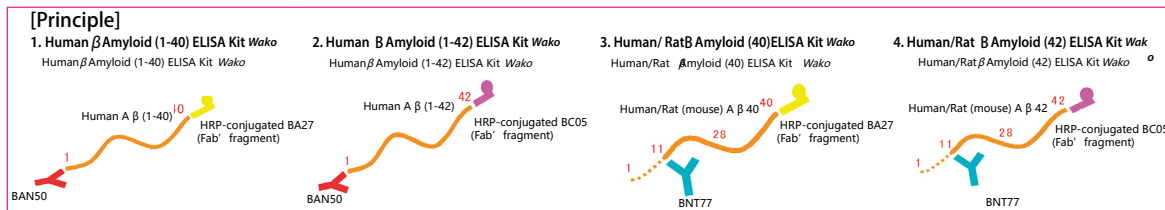
 $\beta$ -Amyloid ELISA 试剂盒系列产品优势:

- 可检测多种样品类型: 脑组织样品, 培养基上清样品, 脑脊髓液样品, 血浆等
- 特异性极强的抗体, 避免非特异性结合
- 极高的灵敏度, 可检测至 pmol 级含量
- 使用此产品的文章已在 Science、Biochemistry、Neuron 等多家国际顶尖刊物发表

 $\beta$ -Amyloid 高灵敏度 ELISA 试剂盒独有优势:

- 超高灵敏度: 比现有产品高出 10 倍灵敏度检测 A $\beta$  (1-42) 和 A $\beta$  (x-42)
- 动态范围: 0.1 ~ 20.0 pmol/L

## 产品选择:



| 产品名称  | 产品编号<br>(包装)              | $\beta$ Amyloid, measured |                           |                                |                                |                  |                  | Dynamic<br>Range<br>(pmol/L) |
|---|---------------------------|---------------------------|---------------------------|--------------------------------|--------------------------------|------------------|------------------|------------------------------|
|   |                           | human<br>A $\beta$ (1-40) | human<br>A $\beta$ (1-42) | rat(mouse)<br>A $\beta$ (1-40) | rat(mouse)<br>A $\beta$ (1-42) | A $\beta$ (x-40) | A $\beta$ (x-42) |                              |
| Human B Amyloid (1-40) ELISA Kit Wako                       | ① 292-62301<br>(96 tests) | ●                         | -                         | -                              | -                              | -                | -                | 1.0~100                      |
| Human B Amyloid (1-40) ELISA Kit Wako II*                   | ② 298-64601<br>(96 tests) | ●                         | -                         | -                              | -                              | -                | -                | 1.0~100                      |
| Human B Amyloid (1-42) ELISA Kit Wako                       | 298-62401<br>(96 tests)   | -                         | ●                         | -                              | -                              | -                | -                | 1.0~100                      |
| Human B Amyloid (1-42) ELISA Kit Wako<br>High-Sensitive**   | ③ 296-64401<br>(96 tests) | -                         | ●                         | -                              | -                              | -                | -                | 0.1~20.0                     |
| Human/Rat B Amyloid (40) ELISA Kit Wako                     | ④ 294-62501<br>(96 tests) | ●                         | -                         | ●                              | -                              | ●                | -                | 1.0~100                      |
| Human/Rat B Amyloid (40) ELISA Kit Wako II*                 | ⑤ 294-64701<br>(96 tests) | ●                         | -                         | ●                              | -                              | ●                | -                | 1.0~100                      |
| Human/Rat B Amyloid (42) ELISA Kit Wako                     | 290-62601<br>(96 tests)   | -                         | ●                         | -                              | ●                              | -                | ●                | 1.0~100                      |
| Human/Rat B Amyloid (42) ELISA Kit Wako<br>High-Sensitive** | ⑥ 292-64501<br>(96 tests) | -                         | ●                         | -                              | ●                              | -                | ●                | 0.1~20.0                     |

## 其他相关产品:

| 产品编号      | 产品名称   | 规格          | 应用  |
|-----------|--|-------------|---|
| 017-25391 | Anti Phosphorylated GAP-43 S96, Monoclonal Antibody(16-4C)             | 100 $\mu$ l | 特异性识别小鼠、大鼠的神经回路发育或再生过程中磷酸化的第 96 位丝氨酸残基                            |
| 010-25401 | Anti Phosphorylated GAP-43 S96, Monoclonal Antibody (18-10H-9H)        | 100 $\mu$ l | 特异性识别小鼠、大鼠的神经回路发育或再生过程中磷酸化的第 96 位丝氨酸残基                            |
| 017-25411 | Anti Phosphorylated GAP-43 T172, Monoclonal Antibody(19-9A)            | 100 $\mu$ l | 特异性识别小鼠、大鼠的神经回路发育或再生过程中磷酸化的第 172 位丝氨酸残基                           |
| 019-22291 | Anti Olfactory Marker Protein, Goat                                    | 100 $\mu$ l | 特异性识别啮齿类、人、有袋目哺乳动物、两栖类等许多动物的嗅觉神经和神经轴突及末端                          |
| 015-25191 | Anti Phosphorylated $\alpha$ -Synuclein, Monoclonal Antibody (pSyn#64) | 50 $\mu$ l  | 特异性识别路易小体中聚集的第 129 位丝氨酸磷酸化 $\alpha$ -Synuclein                    |
| 011-22631 | Anti Mouse Pikachurin, Rabbit  | 100 $\mu$ l | 特异性识别视网膜感光感受器与双极细胞树突的突触连接皮卡丘素                                     |
| 017-24811 | Anti CRMP1, Hamster Monoclonal Antibody (2E7G)                         | 100 $\mu$ l | 特异性识别仓鼠神经组织轴突中神经细胞移动控制因子坍塌反应调节蛋白 1                                |
| 014-24821 | Anti CRMP2, Monoclonal Antibody (9F)                                   | 100 $\mu$ l | 特异性识别人/小鼠/大鼠/鸡神经组织轴突的伸长参与因子坍塌反应调节蛋白 2                             |
| 011-24831 | Anti CRMP5, Monoclonal Antibody (KZ19)                                 | 100 $\mu$ l | 特异性识别小鼠/大鼠浦肯野细胞的发生维持和突触可塑性的坍塌反应调节蛋白 5                             |
| 299-72701 | S-100 $\beta$ ELISA kit Wako   | 96 tests    | 定量检测小鼠/大鼠/人血浆和脑脊液样品中 S-100 $\beta$ 蛋白, 与脑缺血、脑病理性出血、重度颅脑损伤造成的脑损伤相关 |

